

## استفاده از تکنیک دو فرکانسی برای افزایش دقیق اندازه‌گیری ولتاژهای القایی در مقطع نگار القای مغناطیسی و پیاده‌سازی یک سامانه ۱۶ سیم‌پیچه نمونه

محمد رضا یوسفی نجف آبادی<sup>\*</sup>، رضا جعفری<sup>۲</sup>، حمید ابریشمی مقدم<sup>۲</sup>

<sup>۱</sup> گروه مهندسی پزشکی، دانشکده مهندسی برق، واحد نجف آباد، دانشگاه آزاد اسلامی، نجف آباد، ایران

<sup>۲</sup> گروه مهندسی پزشکی، دانشکده مهندسی برق و کامپیوتر، دانشگاه صنعتی خواجه نصیرالدین طوسی، تهران، ایران

mr-yousefi@iaun.ac.ir, rjafari@eetd.kntu.ac.ir, moghadam@eetd.kntu.ac.ir

پذیرش: ۱۳۹۷/۱۰/۲۹

ویرایش: ۱۳۹۷/۱۰/۰۹

دریافت: ۱۳۹۷/۰۸/۰۱

**چکیده:** مقطع نگاری القای مغناطیسی یک روش تصویربرداری غیرهجمومی و غیرداخلی از داخل یک جسم هدف، بر اساس انجام اندازه‌گیری از روی سطح خارجی جسم و بدون تماس الکتریکی با آن است. مزایای این روش نسبت به سایر روش‌های مقطع نگاری الکتریکی، بی‌نیازی آن از الکترودهای تماسی و بالاترین سطح ایمنی الکتریکی آن هستند. در این روش با عبور یک جریان متناوب از یک یا چند سیم پیچ تحریک، یک میدان مغناطیسی تحریک در درون جسم مورد نظر ایجاد شده و ولتاژهای القایی در سیم پیچ‌های گیرنده اندازه‌گیری می‌شوند. بازسازی تصویر جسم با استفاده از نتایج حاصل از اندازه‌گیری، تخمین اولیه‌ای از ضرایب هدایت الکتریکی نواحی داخلی جسم، حل مسائل پیشرو و معکوس صورت می‌گیرد. در سامانه نمونه آزمایشگاهی مقطع نگاری القای مغناطیسی ۱۶ سیم پیچه ساخته شده از روش دمودولاتور دو فرکانسی در کاهش خطای اندازه‌گیری بهبود اندازه‌گیری ولتاژهای القایی استفاده شده است. استفاده از دمودولاتور دو فرکانسی در کاهش خطای اندازه‌گیری با بهبود اندازه‌گیری قسمت حقیقی و یک فرکانس بالا برای اندازه‌گیری قسمت موهومی به صورت همزمان موثر است.

**کلمات کلیدی:** مقطع نگاری القای مغناطیسی، تصویربرداری القای مغناطیسی، روش ترکیبی اجزای محدود - بدون مش، دمودولاتور مبتنی بر ضرب کننده آنالوگ.

## Employing dual frequency phase sensitive demodulation technique to improve the accuracy of voltage measurement in magnetic induction tomography and designing a laboratory prototype

Mohammad Reza Yousefi, Reza Jafari, Hamid Abrishami Moghaddam

**Abstract:** Magnetic induction tomography (MIT) is a promising modality for noninvasive imaging due to its contactless technology. Being a non-contact safe imaging technique, MIT has been an appropriate method in compare to other electrical tomography. In this imaging method, a primary magnetic field is applied by excitation coils to induce eddy currents in the material to be studied and a secondary magnetic field is detected from these eddy currents using sensing coils. Image is then reconstructed using measurement data, initial estimation of electrical conductivity and iterative solution of forward and inverse problems. In the developed 16-coil MIT system, dual frequency phase sensitive demodulation technique is employed to improve the receiver coil voltages measurement. In the dual frequency technique, an auxiliary frequency is used for improving the measurement accuracy and the real and imaginary parts of coil voltages measured in the two different low and high frequency, independently.

**Keywords:** magnetic induction tomography, magnetic induction imaging, phase-sensitive demodulation, magnetic measurement.

مانند سیستم مقطع نگاری القای مغناطیسی پژوهش کنی تخمین ضربی رسانایی الکتریکی فقط مورد توجه می باشد. در یک سیستم مقطع نگاری القای مغناطیسی یک سری سیم پیچ در پیرامون جسم قرار می گیرد و معمولاً با اعمال میدان تحریک اولیه از طریق یک یا چند سیم پیچ، بر آیند میدان تحریک اولیه و میدان های ثانویه ضعیف ناشی از جریان های گردابی القای شده درون جسم هدف در مابقی سیم پیچ ها اندازه گیری می شوند. سپس با اطلاعات بدست آمده از این میدان ها و ولتاژ های اندازه گیری شده، تخمینی از توزیع امپدانس در یک سطح مقطع از جسم بدست می آید [۴۰ و ۵].

در بین روش های مختلف مقطع نگاری الکتریکی، مقطع نگاری القای مغناطیسی توجه محققین را امروزه به خود جلب نموده است. چرا که این روش برخلاف سایر روش های مقطع نگاری الکتریکی که از الکترودهای سطحی برای جمع آوری داده های اندازه گیری استفاده می کنند، بر اساس انجام اندازه گیری از روی سطح خارجی جسم و بدون تماس الکتریکی با آن عمل می کند. بازسازی تصویر در مقطع نگاری شامل دو مرحله حل مساله پیشرو و مساله معکوس است. مساله پیشرو با پیدا کردن یک سری خروجی یکتا با اعمال یک ورودی خاص و پارامترهای فیزیکی معلوم برای جسم هدف و با به کار گیری یک مدل حل مناسب تحلیلی یا عددی تعریف می شود. مساله پیشرو در مقطع نگاری القای مغناطیسی شامل شبیه سازی میدان های حاصل از سیم پیچ های تحریک و جریان های گردابی جاری شده در درون جسم هدف و محاسبه ولتاژ اندازه گیری شده از سیم پیچ های گیرنده به عنوانتابعی از ضربه های هدایت الکتریکی و مغناطیسی جسم هدف است. روش اجزای محدود، یکی از روش های مناسب در حل مساله پیشرو مقطع نگاری القای مغناطیسی است [۴۰ و ۶]. در نقطه مقابل، در مساله معکوس هدف شناسایی پارامترهای فیزیکی سیستم با داشتن معلومات ورودی ها و خروجی های سیستم است. در واقع، بازسازی تصویر با حل مساله معکوس و با استفاده یک روش بازسازی تصویر برای تخمین توزیع ضربه های فیزیکی در یک سطح مقطع از جسم بوسیله اعمال یک میدان تحریک به جسم هدف و اندازه گیری های متعدد میدان ثانویه از سطح خارجی جسم صورت می گیرد. به عبارت دیگر، مسئله شناسایی یک سیستم مجهول با معلوم بودن ورودی ها و خروجی های آن است. در حالت تحریک (M) مطابق با آزمایشات واقعی به نقاط متناظر در مدل، مقادیر خروجی های ایجاد شده در نقاط متناظر (ولتاژ های اندازه گیری شده از سیم پیچ های گیرنده) توسط مدل محاسبه شود. مقایسه داده های اندازه گیری واقعی و مدل سازی شده مساله معکوس را به سمت تخمین درست ضربه های فیزیکی بافت مورد نظر هدایت می کند.

<sup>۳</sup> Magnetic induction tomography (MIT)

<sup>۴</sup> Electrical resistance tomography (ERT)

## ۱- مقدمه

مقطع نگاری الکتریکی یک روش تصویربرداری غیر تهاجمی از توزیع امبدانسی درون جسم با استفاده از انرژی دار کردن ناحیه مورد نظر، انجام اندازه گیری های سطحی از نقاط متفاوت و بازسازی تصویر با به کار گیری نتایج حاصل از این اندازه گیری ها است. در مقطع نگاری الکتریکی، ملاحظه کمیت های ضرایب رسانایی الکتریکی (۵)، قابلیت نفوذ پذیری الکتریکی (۶) و قابلیت نفوذ پذیری مغناطیسی (۷)، امکان اندازه گیری های کمیت های متفاوتی را ایجاد می کند که منجر به پیدا شدن سیستم های مقطع نگاری متفاوتی می شود. از جمله این سیستم ها، مقطع نگاری امپدانس الکتریکی<sup>۱</sup>، مقطع نگاری ظرفیت خازنی الکتریکی<sup>۲</sup> و مقطع نگاری القای مغناطیسی<sup>۳</sup> را می توان نام برد [۱]. قابلیت ترین روش مقطع نگاری الکتریکی، تصویربرداری به روش امپدانس الکتریکی است. در این روش از اتصال آرایه ای از الکترودهای سطحی به اطراف ناحیه تصویربرداری استفاده می شود. جریان بوسیله تعدادی از این الکترودهای سطحی به جسم تزریق شده و پتانسیل های الکتریکی از طریق الکترودهای دیگر اندازه گیری می شود. در مقطع نگاری امپدانس الکتریکی از ضریب رسانایی الکتریکی مختلط شامل ضرایب های رسانایی الکتریکی و نفوذ پذیری الکتریکی، در بازسازی تصویر استفاده می شود. در صورتی که از ضریب نفوذ پذیری الکتریکی (قسمت موهومی) صرف نظر شود، مقطع نگاری امپدانس الکتریکی به مقطع نگاری مقاومت الکتریکی<sup>۴</sup> تبدیل می شود. روش دیگر مقطع نگاری الکتریکی، تصویربرداری به روش ظرفیت خازنی الکتریکی بوده، که خیلی شبیه به مقطع نگاری امپدانسی است. در این روش نیز از یک آرایش الکترودهای سطحی استفاده شده و یک میدان الکتریکی به ماده اعمال می شود و پس از آن توسط داده های الکترودهای سطحی، توزیع ضربه نفوذ پذیری الکتریکی بدست می آید. تنها تفاوت بین این دو روش در این است که در مقطع نگاری خازنی به جای اندازه گیری امپدانس، ظرفیت خازنی بین جفت الکترودهای متفاوت اندازه گیری می شود. این روش برای جسم هایی با ضربه نفوذ پذیری کم و ضریب رسانایی ناچیز با مرزهای عایق مفید است [۳۰ و ۳۲]. سومین روش مقطع نگاری الکتریکی، تصویربرداری القای مغناطیسی است. این روش تصویربرداری بر اساس تئوری القای مغناطیسی عمل کرده و بدون استفاده از الکترودهای سطحی و بوسیله اندازه گیری ولتاژ از سیم پیچ های گیرنده قرار گرفته در اطراف فضای تصویربرداری عمل تصویربرداری را انجام می دهد. مقطع نگاری القای مغناطیسی به دو ضریب رسانایی الکتریکی و نفوذ پذیری مغناطیسی واپسیت بوده و بوسیله اندو کتابس های اندازه گیری شده بوسیله سیم پیچ های حسگر این ضربه ها در جسم هدف قابل تخمین هستند [۴۰ و ۵]. در سیستم های مقطع نگاری القای مغناطیسی با محیط تصویربرداری غیر مغناطیسی

<sup>۱</sup> Electrical impedance tomography (EIT)

<sup>۲</sup> Electrical capacitance tomography (ECT)

بدست آمد و با استفاده از این طیف ضربه های هدایت الکتریکی و نفوذپذیری مغناطیسی بافت مورد نظر بدست می آمد. این سیستم از یک سیم پیچ تحریک، یک سیم پیچ مرجع و یک گردادیومتر<sup>۱</sup> صفحه ای کوچک تشکیل شده بود. البته این سیستم حساسیت بسیار خوبی نسبت به فاز و لتاژهای اندازه گیری شده داشت. همچنین ایده استفاده از گردادیومترها برای اولین بار در ساخت این دستگاه مورد استفاده قرار گرفت. گردادیومتر در واقع از چند حلقه با قطر میکرومتر که بروی یک صفحه مسی ایجاد می شوند تشکیل شده و در واقع کار سیم پیچ گیرنده را انجام می دهد. ابعاد آنها در حد سانتی متر است و همین ابعاد کوچک امکان جایگذاری انعطاف پذیر آنها در سیستم را فراهم می سازد. گردادیومترها باعث حسن تغیرات میدان شده و سیگال اولیه را تقریباً حذف می کنند ولی دارای مشکلات خطای فاز زیاد، وابستگی به موقعیت سنسورها و دما، وجود ظرفیت خازنی و کالیبراسیون مشکل تر هستند [۹]. این سیستم مقطع نگار القای مغناطیسی با استفاده از حرکت مکانیکی و چرخاندن بافت درون میدان تحریک، یک تصویر از خواص مغناطیسی آن بافت ایجاد می کرد. ایجاد حرکت مکانیکی موجب افزایش تعداد اندازه گیری ها می شود که نتیجه آن بهبود کیفیت تصویر بازسازی شده است. در ادامه تحقیقات این گروه در سال ۲۰۰۵ میلادی طرح جدیدی از گردادیومترها توسط سازندگان سیستم مقطع نگار القای مغناطیسی چند فرکانس پیشنهاد و در این سیستم بکار گیری شد. با بکار گیری این گردادیومترها جدید، کیفیت تصاویر بازسازی شده نسبت به سیستم قبلی افزایش یافت [۱۰]. این گروه در سال ۲۰۰۷ میلادی نیز با استفاده از این گردادیومترهای جدید و بکار گیری یک چیدمان جدید و همچنین استفاده از ۱۶ سیم پیچ تحریک و ۱۶ گردادیومتر و حذف حرکت مکانیکی در سیستم قبلی، توانست کیفیت تصاویر بازسازی شده را افزایش دهد [۱۱ و ۱۲]. در سال ۲۰۰۳ میلادی یک سیستم مقطع نگار القای مغناطیسی با استفاده از ۱۶ سیم پیچ تحریک و ۱۶ سیم پیچ گیرنده با فرکانس کاری ۱۰ مگا هرتز برای کاربردهای بالینی ساخته شد. تفاوت اصلی این سیستم با سیستم های قبلی استفاده از مدارهای اندازه گیری فاز با دقت بالا بود و همین موضوع باعث افزایش کیفیت تصاویر حاصل شد. در این دستگاه بدلیل مجزا بودن سیم پیچ های تحریک و گیرنده، تعداد اندازه گیری های ممکن افزایش یافته و تعداد ۳۲۰ اندازه گیری انجام شده است. این موضوع نیز یکی دیگر از دلایل افزایش کیفیت تصویر بازسازی شده نسبت به سیستم های قبلی است [۱۳]. در سال ۲۰۰۵ یک سیستم مقطع نگار القای مغناطیسی با آرایه حسگرهای قرار گرفته بروی یک صفحه طراحی شد که از لحظ ساختار سخت افزاری با سیستم های قبلی متفاوت بود. در این سیستم بجای قرار گرفتن سیم پیچ های تحریک و گیرنده بروی یک صفحه در زیر جسم قرار می گرفت و با استفاده از یک محرك مکانیکی عرض جسم را جارو<sup>۲</sup> می کرد. تعداد ۴ سیم پیچ نیز در طرف مخالف وظیفه ایجاد تحریک را بر عهده داشتند.

اولین سیستم مقطع نگار القای مغناطیسی در سال ۱۹۹۳ میلادی ساخته شد. در این سیستم از دو جفت سیم پیچ تحریک بسیار بزرگ برای اعمال موازی میدان تحریک استفاده می شد. میدان حاصل از برقراری جریان های گردانی درون جسم توسط سیم پیچ گیرنده حس می شد. سیستم در فرکانس ۵۰۰ کیلوهertz کار می کرد. این سیستم برای کاربرد صنعتی طراحی شده بود. سازندگان این دستگاه در سال ۱۹۹۴ سیستم مشابهی با ۲۴ سیم پیچ گیرنده ساختند که برای ایجاد تصویر از اجسام فرم مغناطیسی با کاربرد صنعتی طراحی شده بود و در فرکانس ۲۰۰ کیلوهertz کار می کرد. میدان ثالویه در این سیستم هم فار با میدان اعمالی با دامنه ۲۵٪ دامنه میدان اعمالی بود [۷]. در سال ۱۹۹۵ میلادی سیستم مقطع نگار القای مغناطیسی دیگری ابداء شد. در این سیستم از ۱۲ سیم پیچ تحریک و ۱۲ سیم پیچ فرستنده که در میان سیم پیچ های تحریک بروی یک دایره قرار گرفته بودند استفاده شده بود و در فرکانس ۵ کیلوهertz کار می کرد. در این سیستم فار و لتاژ القایی نیز اندازه گیری می شد و به همین دلیل کیفیت تصاویر بازسازی شده نسبت به سیستم قبلی افزایش یافت. این سیستم نیز برای کاربرد صنعتی طراحی شده بود [۷]. سیستم بعدی با کاربرد صنعتی در سال ۱۹۹۶ میلادی ساخته شد. در این سیستم از ۱۶ سیم پیچ استفاده شده که هم به عنوان سیم پیچ های تحریک و هم گیرنده استفاده شده است. فرکانس کاری این سیستم ۱۰۰ کیلو هertz بود. این سیستم توانست اجسام فلزی فریبی را تشخیص دهد [۸]. سازندگان این سیستم در سال ۲۰۰۶ میلادی سیستم دیگری را که بهبود یافته و گسترش یافته این سیستم بود پیشنهاد کردند. در سیستم جدید تعداد سیم پیچ ها از ۱۶ عدد به ۸ عدد کاهش یافت و این ۸ سیم پیچ هم نقش تحریک و هم نقش گیرنده را بازی می کردند. سازندگان دستگاه دلیل این کار را کاهش سخت افزار سیستم به همراه کاهش نویز موجود در سیستم بیان نمودند. فرکانس کاری سیستم ۵۰۰ کیلوهertz بود. در این سیستم تعداد اندازه گیری ها با رعایت اصل هم پاسخی به ۲۸ مورد رسید [۹].

در مورد ساخت سیستم های مقطع نگار القای مغناطیسی با کاربرد بالینی کار به مرتب مشکل تر از سیستم های مقطع نگاری با کاربرد صنعتی است. زیرا اولاً ضربه های هدایت بافت های بیولوژیک میلیونها برابر از ضربه های هدایت اجسام فلزی کمتر است. ثانیاً ضربه های نفوذ مغناطیسی بافت های بیولوژیک با فضای آزاد (هوا) یکسان است. به همین دلیل میدان بشدت در آنها تضعیف می شود و برخلاف سیستم های صنعتی، قسمت موهوی میدان بر قسمت حقیقی آن غلبه می کند. این سیستم ها بدلیل مشکلات موجود از جمله کم بودن دقت تفکیک پذیری مکانی تا کنون در کاربردهای بالینی واقعی کمتر مورد استفاده قرار گرفته اند و اکثرآ بروی یک بافت فیزیولوژیک مصنوعی مورد آزمایش قرار گرفته اند. در سال ۲۰۰۱ میلادی یک سیستم مقطع نگار القای مغناطیسی چند فرکانس پیشنهاد شد. در این سیستم برای بافت از طریق اعمال جریان تحریک با فرکانس های متفاوت در بازه ۲۰ تا ۳۷۰ کیلوهertz یک طیف فرکانسی

<sup>2</sup> Scan<sup>1</sup> Gradiometer

صورت تغیرات مقاومت، خازن یا سلف به مدار اندازه گیری اعمال کرده و دقت اندازه گیری این پارامترها تعیین کننده کارآبی سیستم کنترلی می‌باشد. در این تحقیق روش دمودلاسیون مبتنی بر ضرب کننده آنالوگ دو فرکانسی برای کاهش خطأ و بهبود اندازه گیری قسمت حقیقی و موهومی ولتاژهای القایی در مقطع نگاری القای مغناطیسی پیشنهاد شده و از آن در ساخت یک سامانه نمونه آزمایشگاهی<sup>۲</sup> سیم پیچ بهره گرفته شده است. همچنین در این سخت افزار برای اندازه گیری میدان ثانویه و حذف تاثیر میدان اولیه از اتصال تفاضلی دو سیم پیچ گیرنده که در یک راستا و با فاصله کمی نسبت به یکدیگر قرار گرفته‌اند استفاده شده است. این کار باعث می‌شود که ولتاژ ثبت شده تحت تاثیر تغیرات میدان حاصل از جریان‌های گردآمی جاری در شی هدف قرار گیرد و به میدان تحریک ابتدایی حساسیت کمتری داشته باشد.

در این مقاله در ابتدا در بخش دوم روش دمودلاسیون مبتنی بر ضرب کننده آنالوگ دو فرکانسی جهت بهبود اندازه گیری قسمت حقیقی و موهومی ولتاژهای القایی در سیستم‌های مقطع نگاری القای مغناطیسی پیشنهاد می‌شود. سپس در بخش سوم اصول کلی به کارگیری اتصال تفاضلی سیم پیچ‌ها برای اندازه گیری میدان ثانویه در مقطع نگار القای مغناطیسی مطرح می‌شود. پس از آن در بخش چهارم نحوه ساخت سخت افزار نمونه آزمایشگاهی ساخته شده مقطع نگار القای مغناطیسی بیان و اجزاء آن معرفی می‌شود. در بخش پنجم کارآبی سخت افزار با بازسازی تصویر از چند محیط تصویربرداری معلوم مورد تست قرار خواهد گرفت. در نهایت در بخش ششم نتایج حاصل مورد بحث قرار خواهد گرفت.

## ۲- حل مساله پیشو

در حل مساله پیشرو مقطع نگاری القای مغناطیسی، محیط مورد حل به طور معمول توسط یک معادله دیفرانسیل با مشتقات جزئی از نوع هلمهلتز به فرم عمومی زیر مدل‌سازی می‌شود<sup>[۵]</sup>:

$$-\nabla \cdot (\alpha(x, y) \nabla u(x, y)) + \beta(x, y) u(x, y) = f(x, y) \quad (1)$$

که در آن  $\alpha$  و  $\beta$  پارامترهای فیزیکی محیط و  $f(x, y)$  تابع تحریک هر سه تابعی از مکان هستند. برای حل این معادله، می‌توان از هر یک از دو روش بهینه‌سازی ریتز<sup>۳</sup> یا گالرکین<sup>۴</sup> برای فرمولبندی روش اجزای محدود بهره بردن. برای این منظور، ابتدا ناحیه اجزای محدود با به کارگیری تعدادی المان تقسیم‌بندی می‌شود. سپس، برای هر المان عددی منحصر به فرد اختصاص می‌یابد. گره‌های هر المان خود نیز به صورت محلی<sup>۵</sup> شماره گذاری می‌شوند. شماره گذاری منحصر به فرد برای هر گره در کل دامنه، شماره گذاری سراسری<sup>۶</sup> نامیده می‌شود. تغییرات متغیر مجهول، در طول یک المان با انتخاب مناسب توابع پایه، تقریب زده می‌شود. در روش اجزای محدود معمولاً از توابع چند جمله‌ای به عنوان توابع پایه استفاده می‌شود.

فرکانس کاری سیستم<sup>۷</sup> مگاهرتر بود و از تقویت کننده‌های قفل شونده برای اندازه گیری فاز استفاده شد. در این سیستم از یک سیم پیچ کالیبراسیون برای اندازه گیری میدان اولیه استفاده شده بود [۱۴]. در همان سال یک سیستم مقطع نگاری القای مغناطیسی با استفاده از حسگرهای اثر هال<sup>۸</sup> ساخته شد. در این سیستم از یک استاتور موتور القایی سه فاز برای اعمال میدان تحریک یکنواخت به جسم استفاده شد. در درون این استاتور و بر روی محیط محوطه جسم هدف از ۲۴ عدد حسگر اثر هال استفاده گردید. مساله پیشرو در این سیستم به روش اجزای محدود حل گردید [۱۵]. در سال ۲۰۰۵ نیز گزارشی از ساخت دو سیستم مقطع نگاری القای مغناطیسی با کاربرد صنعتی و بالینی منتشر شد که در واقع ادامه کار سیستم صنعتی ساخته شده در [۸] بود. در هر دو سیستم از ۸ سیم پیچ که هم در نقش سیم پیچ تحریک و هم سیم پیچ گیرنده فعالیت می‌کردند، استفاده شده بود. تعداد اندازه گیری‌ها با رعایت اصل هم‌یاسخی به ۲۸ مورد رسید [۱۷].

در تحقیقی دیگر در سال ۲۰۰۹ میلادی یک سیستم مقطع نگاری القای مغناطیسی متفاوت برای مقطع نگاری جمجمه پیشنهاد و ساخته شد که با سیستم‌های قبلی دو تفاوت عمده داشت. اولاً در این سیستم آرایه حسگرهای در ابعاد بسیار کوچک با توزیع گرادیومترها بر روی سطح خارجی یک کره توخالی ساخته شده بودند که امکان استفاده از آن برای ایجاد تصویر از جمجمه را فراهم می‌ساخت. ثانیاً در این سیستم یک سیم پیچ کالیبراسیون برای خشی کردن تغیرات فاز بر اثر تغییر دما و عوامل ناخواسته در بیرون محیط اندازه گیری تعییه شده بود. این سیستم در فرکانس ۱۲۰ کیلوهرتز کار می‌کرد. همچنین در این سیستم برای اندازه گیری ولتاژ از ۱۵ گرادیومتر دو قسمتی که در وسط آنها ۱۵ سیم پیچ تحریک قرار گرفته، استفاده شده بود [۱۸]. در سال ۲۰۱۲ نیز دو سیستم دیگر که یکی در فرکانس ۱/۵ مگا هرتز و دیگری در فرکانس ۵ مگا هرتز کار می‌کردند ساخته شدند. سیستم اول از یک سیم پیچ گیرنده و ۸ گیرنده و سیستم دوم از یک تحریک و یک گیرنده تشکیل شده بودند. در هر دو سیستم، با ایجاد حرکت مکانیکی تعداد اندازه گیری‌ها افزایش یافت که باعث بهبود کیفیت تصویر بازسازی شده می‌شود [۱۹ و ۲۰]. در سال ۲۰۱۵ نیز گزارشی از ساخت یک سیستم مقطع نگار القای مغناطیسی صنعتی با به کار گیری ۸ سیم پیچ تحریک و ۸ سیم پیچ گیرنده به صورت مجزا برای اندازه گیری دبی ناشی از هدایت الکتریکی با استفاده از استخراج فاز سیگنال‌ها منتشر شد [۲۱]. در ایران فعالیت در زمینه ساخت سیستم‌های مقطع نگاری القای مغناطیسی از سال ۱۳۸۸ در آزمایشگاه ابزار دقیق بیومدیکال دانشگاه صنعتی خواجه نصیر الدین طوسی آغاز شد [۲۲].

از سوی دیگر، اندازه گیری گیری اجزای حقیقی و موهومی یک امپدانس مجهول از دیرباز به عنوان یکی از پارامترهای کارآبی یک سیستم ابزار دقیق مطرح بوده است. چرا که اغلب حسگرهای خروجی خود را به

<sup>4</sup> Local  
<sup>5</sup> Global

<sup>1</sup> Hall sensors  
<sup>2</sup>Ritz  
<sup>3</sup>Galerkin

به دلیل کوچک بودن مقدار سلف، مقاومت درونی منع ولتاژ و مقاومت اهمی خود سیم پیچ نیز باید در نظر گرفته شود.

دمدولاسیون مبتنی بر ضرب کننده آنالوگ با دقت خوبی قادر به اندازه‌گیری قسمت حقیقی ( $R_x$ ) و قائم امپدانس مجھول ( $C_x$ ) است. اما این دقت با تغییرات زیاد نسبت به  $C_x$  یا  $L_x$  به شدت کاهش می‌باید. به عنوان مثال در مقطع نگاری القای مغناطیسی، در یک فرکانس ثابت اگر مقدار مقاومت  $R_x$  خیلی بزرگ‌تر از مقدار سلف  $L_x$  باشد، اندازه‌گیری هر دو قسمت حقیقی و قائم ولتاژ خروجی بیشتر تحت تاثیر مقدار مقاومت  $R_x$  است و عملاً تغییرات کم مقدار سلف  $L_x$  تاثیری در مقدار امپدانس نخواهد داشت. بالعکس اگر مقدار سلف  $L_x$  خیلی بزرگ‌تر از مقدار مقاومت  $R_x$  باشد، اندازه‌گیری هر دو قسمت حقیقی و قائم ولتاژ خروجی بیشتر تحت تاثیر مقدار امپدانس سلف  $L_x$  بوده و عملاً تغییرات مقاومت  $R_x$  ممکن است در مقدار امپدانس ظاهر نشود. همچنین به دلیل وابستگی مقدار امپدانس سلف  $L_x$  به فرکانس‌های پایین امپدانس سلف پایین آمده و در صورتی که مقدار سلف از مقدار مقاومت  $R_x$  خیلی کوچک‌تر باشد، عملاً تغییرات سلف  $L_x$  ممکن است در مقدار امپدانس ظاهر نشود. یا در فرکانس‌های بالا امپدانس سلف  $L_x$  به شدت افزایش می‌باید و مقدار مقاومت  $R_x$  در محاسبه قسمت حقیقی ولتاژ خروجی بی تاثیر است. بنا بر این از آتجایی که امپدانس خازن یا سلف مدل کننده بافت با فرکانس تغییر می‌کند، بدست آوردن مقدار صحیح مؤلفه‌های مقاومتی و موهومی امپدانس مجھول در یک فرکانس منفرد مشکل خواهد بود. همچنین در صورت وجود اختلاف زیاد بین بازه مقاومت و خازن مجھول، در برخی از حالت‌های اندازه‌گیری بخش مقاومتی امپدانس و در برخی بخش موهومی امپدانس در اندازه‌گیری موثر هستند و سایر اطلاعات مفید از دست می‌روند [۲۳]. این در حالی است که در سیستم‌های مقطع نگاری الکتریکی به سبب تنواع و تغیرپذیری جسم هدف، بخش ولت‌متر پایستی توانایی اندازه‌گیری دقیق قسمت حقیقی و قائم امپدانس مجھول در یک بازه گسترده را داشته باشد.

برای رفع مشکل علم تناسب مقدار حقیقی و موهومی امپدانس مجھول در مقطع نگاری امپدانس الکتریکی روش تصحیح شده دمدولاسیون مبتنی بر ضرب کننده دو فرکانسی برای اندازه‌گیری مؤلفه حقیقی و قائم امپدانس مجھول در [۲۳] پیشنهاد شده است. ایده اصلی این روش ترکیب دو دمدولاتور حساس به فاز مبتنی بر ضرب کننده آنالوگ که هر کدام به صورت جداگانه در یک فرکانس خاص کار می‌کنند است. شکل ۱ بلوک دیاگرام یک مدار اندازه‌گیری امپدانس با استفاده از تکنیک دمدولاسیون مبتنی بر ضرب کننده آنالوگ دو فرکانسی را نشان می‌دهد [۲۳]. در این شکل دو سیگنال ژنراتور به منظور تولید دو شکل موج سینوسی با دو فرکانس زاویه‌ای متفاوت به ترتیب  $\omega_1$  و  $\omega_2$  و اختلاف فاز  $\theta$  در نظر گرفته شده‌اند. این دو سیگنال با فرکانس‌های متفاوت وارد جمع کننده شده و سپس شکل موج مرکب حاصل جمع آنها به مدار پایه اندازه‌گیر امپدانس اعمال می‌شود.

چرا که مشتق و انتگرال این گونه توابع در مقایسه با توابع دیگر، به آسانی قابل محاسبه است. به کمک حساب تغییرات و گسترش تابع هزینه حاصل بر روی تمام المان‌های تشکیل دهنده ناحیه حل، می‌توان به رابطه ماتریسی زیر رسید:

$$[K][u] + [g] = [F] \quad (2)$$

در این رابطه  $K$  و  $F$  به ترتیب ماتریس سختی و بردار تحریک هستند.  $u$  نیز بینگر تغییرات ( $x$ ,  $y$ ) بر روی گره‌های ناحیه است. با گسترش این دستگاه برروی تمام المان‌ها و اعمال شرایط مرزی مطابق روش ارائه شده در [۵] در نهایت دستگاه معادلات بیان شده در رابطه (۲) به صورت زیر ساده سازی می‌شود:

$$\begin{bmatrix} K & H_v \\ H_u & I \end{bmatrix} \begin{bmatrix} u \\ \lambda \end{bmatrix} = \begin{bmatrix} F \\ q \end{bmatrix} \quad (3)$$

در این رابطه  $H_v$ ,  $H_u$  و  $I$  برای اعمال شرایط مرزی رایین استفاده می‌شوند. حال از آنجا که خروجی‌های مساله پیشرو ولتاژهای القایی در سیم‌پیچ‌های گیرنده هستند، این ولتاژها باستی شبیه‌سازی شوند. محاسبه این ولتاژها با بهره گیری از قانون القای فاراده به شکل زیر امکان‌پذیر است:

$$V_{ind} = \oint \vec{E} \cdot dl \quad (4)$$

در این رابطه  $\vec{E}$  شدت میدان الکتریکی عبوری از داخل سیم‌پیچ و  $c$  بسته شده توسط سیم‌پیچ است. حال با استفاده از رابطه  $\vec{E} = -j\omega \vec{A} + \vec{E}_s$  و با چشم پوشی کردن از  $\vec{E}$  در سیم‌پیچ گیرنده خواهیم داشت:

$$V_{ind} = -j\omega \oint A_z \cdot dl \quad (5)$$

بنابراین اختلاف ولتاژ ظاهر شده در دو سر سیم‌پیچ گیرنده توسط رابطه زیر قابل محاسبه است:

$$V_m = j\omega L(A_1 - A_2) \quad (6)$$

که در این رابطه  $A_1$  و  $A_2$  اندازه بردار پتانسیل القایی در دو هادی رفت و برگشت سیم‌پیچ در سطح مقطع مورد نظر می‌باشد که می‌تواند با مقدار بردار پتانسیل القایی در وسط هادی‌ها جایگزین شوند.

### ۳- دمدولاسیون مبتنی بر ضرب کننده دو فرکانسی

اندازه‌گیری دقیق اجزای حقیقی و موهومی یک امپدانس مجھول از دیرباز به عنوان یکی از پارامترهای کارآبی یک سیستم ابزار دقیق مطرح بوده است. چرا که اغلب حسگرها خروجی خود را به صورت تغییرات مقاومت، خازن یا سلف به مدار اندازه‌گیری اعمال کرده و دقت اندازه‌گیری این پارامترها تعیین کننده کارآبی سیستم کنترلی می‌باشد. به عنوان مثال یک سلف در محدوده میکروهانتری در فرکانس ۵۰ هرتز قابل اندازه‌گیری نیست زیرا امپدانس بسیار پایینی از خود نشان می‌دهد. همچنین

هم فاز و قائم سیگنال ولتاژ خروجی از این مرحله که همان سیگنال ورودی به دمدولاتور حساس به فاز است، در کنار مشخص بودن اندازه ولتاژ اعمالی به بیوامپانس مجھول، شرایط لازم برای محاسبه مقدار حقیقی و موهومی بیوامپانس امپانس مجھول را مهیا می کند. بدین ترتیب، ورودی مدار پایه اندازه گیری امپانس توسط رابطه زیر قابل بیان است:

$$(11) \quad v_i(t) = -[A_1 \sin(\omega_1 t) + A_2 \sin(\omega_2 t + \theta)]$$

حال با بهره گیری از تکنیک جمع آثار، خروجی مدار پایه اندازه گیر امپانس توسط رابطه زیر بدست می آید:

$$(12) \quad \begin{aligned} v_o(t) &= R_f [A_1 \operatorname{Re}\{Y_x\}|_{\omega_1} \sin(\omega_1 t) + \\ &\quad A_2 \operatorname{Re}\{Y_x\}|_{\omega_2} \sin(\omega_2 t + \theta)] + \\ &Im\{Y_x\}|_{\omega_1} \cos(\omega_1 t) + A_2 Im\{Y_x\}|_{\omega_2} \cos(\omega_2 t + \theta)] \end{aligned}$$

در سوی دیگر سیگنال ولتاژ مرجع دو ضرب کننده (مرجع حقیقی و قائم) به شکل زیر بیان می شوند:

$$(13) \quad v_{fr}(t) = A_2 \sin(\omega_2 t + \theta)$$

$$(14) \quad v_{fq}(t) = A_1 \cos(\omega_1 t)$$

بدین ترتیب خروجی ضرب کننده بالا در شکل ۱ به صورت زیر بدست می آید:

$$(15)$$

$$\begin{aligned} v_r(t) &= kv_o(t)v_{fr}(t) = \\ &kA_2 R_f \left[ \frac{A_1}{2} \operatorname{Re}\{Y_x\}|_{\omega_1} \cos(\omega_1 t - \omega_2 t - \theta) - \right. \\ &\left. \frac{A_1}{2} \operatorname{Re}\{Y_x\}|_{\omega_1} \cos(\omega_1 t + \omega_2 t + \theta) + \frac{A_2}{2} \operatorname{Re}\{Y_x\}|_{\omega_2} - \right. \\ &\left. \frac{A_2}{2} \operatorname{Re}\{Y_x\}|_{\omega_2} \cos(2\omega_2 t + 2\theta) + \right. \\ &\cdot Im\{Y_x\}|_{\omega_1} \sin(\omega_1 t + \omega_2 t + \theta) + \frac{A_1}{2} Im\{Y_x\}|_{\omega_1} \sin(\omega_1 t - \omega_2 t - \theta) + \frac{A_2}{2} Im\{Y_x\}|_{\omega_2} \sin(2\omega_2 t + 2\theta) \] \end{aligned}$$

حال مقدار DC مولفه مقاومتی ولتاژ خروجی ( $V_r$ ) پس از عبور از فیلتر پایین گذار با بهره مفروض باند عبور برابر با یک به صورت زیر بدست می آید:

$$(16) \quad V_r = \overline{v_r(t)} = \frac{kA_2^2 R_f}{2} \operatorname{Re}\{Y_x\}|_{\omega_2}$$

خروجی ضرب کننده پایین هم به صورت زیر محاسبه می شود:

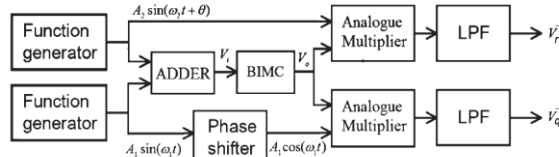
$$(17)$$

$$\begin{aligned} v_q(t) &= kv_o(t)v_{fq}(t) = \\ &kA_1 R_f \left[ \frac{A_1}{2} \operatorname{Re}\{Y_x\}|_{\omega_1} \sin(2\omega_1 t) + \frac{A_2}{2} \operatorname{Re}\{Y_x\}|_{\omega_2} \sin(\omega_1 t + \omega_2 t + \theta) - \frac{A_2}{2} \operatorname{Re}\{Y_x\}|_{\omega_2} \sin(\omega_1 t - \omega_2 t - \theta) + \right. \\ &\left. \frac{A_1}{2} Im\{Y_x\}|_{\omega_1} \cos(2\omega_1 t) + \right. \\ &\left. \frac{A_1}{2} Im\{Y_x\}|_{\omega_1} + \frac{A_2}{2} Im\{Y_x\}|_{\omega_2} \cos(\omega_1 t + \omega_2 t + \theta) + \right. \\ &\left. \frac{A_2}{2} Im\{Y_x\}|_{\omega_2} \cos(\omega_1 t - \omega_2 t - \theta) \right] \end{aligned}$$

بنا بر این مقدار DC مولفه قائم ولتاژ خروجی ( $V_q$ ) نیز پس از عبور از فیلتر پایین گذار با بهره باند عبور برابر با ۱ برابر خواهد بود با:

$$(18) \quad V_q = \overline{v_q(t)} = \frac{kA_1^2 R_f}{2} Im\{Y_x\}|_{\omega_1}$$

خروچی مدار پایه اندازه گیر امپانس در یک زمان به دو ضرب کننده آنالوگ ارسال می شود. از سوی دیگر سیگنال تولید شده توسط سیگنال ژنراتور اول که دارای فرکانس زاویه ای  $\omega_1$  است به عنوان مرجع (سیگنال مرجع هم فاز) به ضرب کننده بالای ارسال شده و خروجی می شود. این ضرب کننده پس از عبور از فیلتر پایین گذار و حذف ریل های فرکانس بالا، مولفه مقاومتی خروجی دمدولاتور  $V_r$  را تولید کند. سیگنال تولید شده توسط سیگنال ژنراتور دوم نیز که دارای فرکانس زاویه ای  $\omega_2$  است به عنوان مرجع (سیگنال مرجع قائم) به ضرب کننده پایین ارسال می شود و پس از ضرب در خروجی مدار پایه اندازه گیر امپانس و عبور از یک فیلتر پایین گذار دیگر، مولفه قائم خروجی دمدولاتور  $V_q$  را تولید کند. بدین ترتیب در دمدولاتور مبتنی بر ضرب کننده دو فرکانسی، اوّل مولفه های مقاومتی و قائم به صورت کاملاً مجزا و بدون کمترین تاثیر پذیری از یکدیگر اندازه گیری می شوند و نسبت بین آنها برروی دقت اندازه گیری تاثیر گذار نیست. ثانیاً این مدار از قابلیت اندازه گیری قسمت های حقیقی و قائم ولتاژ خروجی به موازات هم و در یک زمان واحد برخوردار است [۲۳]. به دلیل وجود دو فرکانس متفاوت در این سیستم، از تحلیل حالات دائمی سینوسی نمی توان استفاده کرد و مجبور به بیان رابطه ها در حوزه زمان خواهیم بود.



شکل ۱: بلوک دیاگرام مدار اندازه گیری امپانس با استفاده از تکنیک دمدولاسیون مبتنی بر ضرب کننده دو فرکانسی [۲۳].

در بلوک دیاگرام شکل ۱ مدار پایه اندازه گیری امپانس است. در حالت کلی، می توان سیگنال ولتاژ خروجی مدار پایه اندازه گیر امپانس ( $V_o$ ) را به صورت اندازه  $M$  و فاز  $\phi$  و یا به صورت ترکیب مؤلفه های حقیقی ( $V_r$ ) و قائم ( $V_q$ ) به صورت زیر نوشت:

$$(V_q) = M \sin(\omega t + \phi) = V_{rMAX} \sin(\omega t) + V_{qMAX} \cos(\omega t)$$

بدین ترتیب در حوزه فازور با تاثیر بهره تعویت کننده عملیاتی و با فرض  $V_i$  به عنوان مرجع فاز خواهیم داشت:

$$(8) \quad V_o = -R_f Y_x V_i = -R_f Y_x V_i = V_r + jV_q$$

که در این رابطه مؤلفه های حقیقی ( $V_r$ ) و قائم ( $V_q$ ) به صورت زیر تعریف می شوند:

$$(9) \quad V_r = -R_f Re\{Y_x\} V_i$$

$$(10) \quad V_q = -R_f Im\{Y_x\} V_i$$

همان طور که مشاهده می شود مؤلفه حقیقی  $V_r$  بیانگر قسمت حقیقی ادمیتانس مجھول  $Y_x$  و مؤلفه قائم  $V_q$  بیانگر قسمت موهومی ادمیتانس مجھول  $Y_x$  است. بنا بر این، محاسبه اندازه و فاز یا به طور معادل مؤلفه های

مقابل گردادیومترها نیز حفظ می شود. در واقع به دلیل قوی بودن میدان تحریک B، ولتاژ القایی در دو سیم پیچ گیرنده تقریباً یکسان است و تفاضل آنها نزدیک صفر می شود. در سوی دیگر به دلیل وجود فاصله مکانی بین محل قرارگیری دو سیم پیچ، تغییرات میدان حاصل از جریان یافتن جریان های گردآبی درون شی هدف سبب ایجاد اختلاف پتانسیل الکتریکی بین ولتاژ القایی در دو سیم پیچ گیرنده می شود. در واقع با این کار یک گردادیومتر با استفاده از دو سیم پیچ گیرنده ایجاد می شود.

## ۵- سخت افزار سامانه پیشنهادی

شکل ۲ بلوک دیاگرام سامانه پیشنهادی با بکارگیری روش دمدولاسیون مبتنی بر ضرب کننده آنالوگ دو فرکانسی جهت بهبود اندازه گیری قسمت حقیقی و موهومی ولتاژهای القایی را نشان می دهد. همانطور که در این بلوک دیاگرام مشخص شده است، این سامانه از سیم پیچ های تحریکی و گیرنده، مدار دی مالتی پلکسی تحریک، مدار مالتی پلکسی اندازه گیری ولتاژ، مدار مالتی پلکسی اندازه گیری جریان، دمدولا تور حساس به فاز آنالوگ [۳۲]، مولدهای سیگنال فرکانس بالا و پایین و در نهایت میکرو کنترلر تشکیل شده است.

در سیستم های مقطع نگار القای مغناطیسی با فرکانس تحریک بالا (رنج مگاهرتر)، به دلیل افزایش تلفات گردآبی هسته با افزایش فرکانس، معمولاً استفاده از هسته های فربیتی در فرکانس های بالا پیشنهاد می شود [۴۷] با این وجود استفاده از هسته های فربیتی باعث به اشباع رفتن هسته غیر خطی شدن مشخصه می شود [۲۹]. به همین دلیل در اکثر سیستم های نظری سیستم های پیشنهادی در مراجع [۲۴، ۲۵ و ۲۹] از سیم پیچ با هسته هوایی استفاده شده است. بدین ترتیب در اجرای روش اندازه گیری پیشنهادی، برای قرار گیری سیم پیچ ها از پایه پلاستیکی استفاده شده است. طرح این پایه پلاستیکی که در نرم افزار Autocad طراحی گردیده در شکل ۳ نشان داد شده است. قطر خارجی این پایه ۱۵ میلیمتر و قطر درونی آن ۴/۵۴ میلیمتر است. ابعاد شیارها ۱۵/۰۵ در ۴/۹ میلیمتر و فاصله دهنۀ ورودی شیارها ۱/۷۷ میلیمتر است. پس از این مرحله طرح مورد نظر توسط دستگاه برش لیزری بر روی صفحه پلکسی شفاف<sup>۱</sup> با قطر ۵ میلیمتر برش داده شد و تعداد ۸ عدد پایه استخراج شد. با چسباندن دو بدوى این صفحات به یکدیگر به جهت استحکام مکانیکی و استفاده از ۳۲ قطعه مکعب مستطیل به ابعاد ۵ در ۴/۵ میلیمتر به صورت عمودی در ته شیارهای این صفحات به هم چسبیده، یک اسکلت پلاستیکی برای جایگیری سیم پیچ ها ایجاد شد.

پس از انتخاب هسته، با هدف استفاده ماکزیمم از توان هسته جهت هر چه قوی تر بودن سیگنال های ثابتی و با توجه به مساحت مفید شیارهای تعییه شده در هسته که برابر با ۷۳/۳ میلیمتر مربع است، در هر شیار تعداد ۱۲۸ هادی از جنس سیم مسی لامپی نمره ۰/۳ در دو دسته ۶۴ تایی قرار می گیرند. بین دو سیم پیچ به منظور ایجاد امکان اندازه گیری دیفرانسیلی،

بدین ترتیب  $V_r$  با قسمت حقیقی ادمیتانس مجھول  $Y_x$  در فرکانس  $\omega_2$  و  $V_q$  با قسمت موهومی آن در فرکانس  $\omega_1$  به شکل زیر رابطه مستقیم دارند:

$$Re\{Y_x\}|_{\omega_2} = \frac{2V_r}{kA_2^2 R_f} \quad (19)$$

$$Im\{Y_x\}|_{\omega_1} = \frac{2V_q}{kA_1^2 R_f} \quad (20)$$

همان طور که در این روابط مشاهده می شود، خروجی اندازه گیری ها بطور کامل از یکدیگر، فرکانس سیگنال ژنراتور اول ( $\omega_2$ ) و همچنین اختلاف فاز اولیه  $\theta$  مستقل هستند.

## ۴- اتصال تفاضلی سیم پیچ های گیرنده

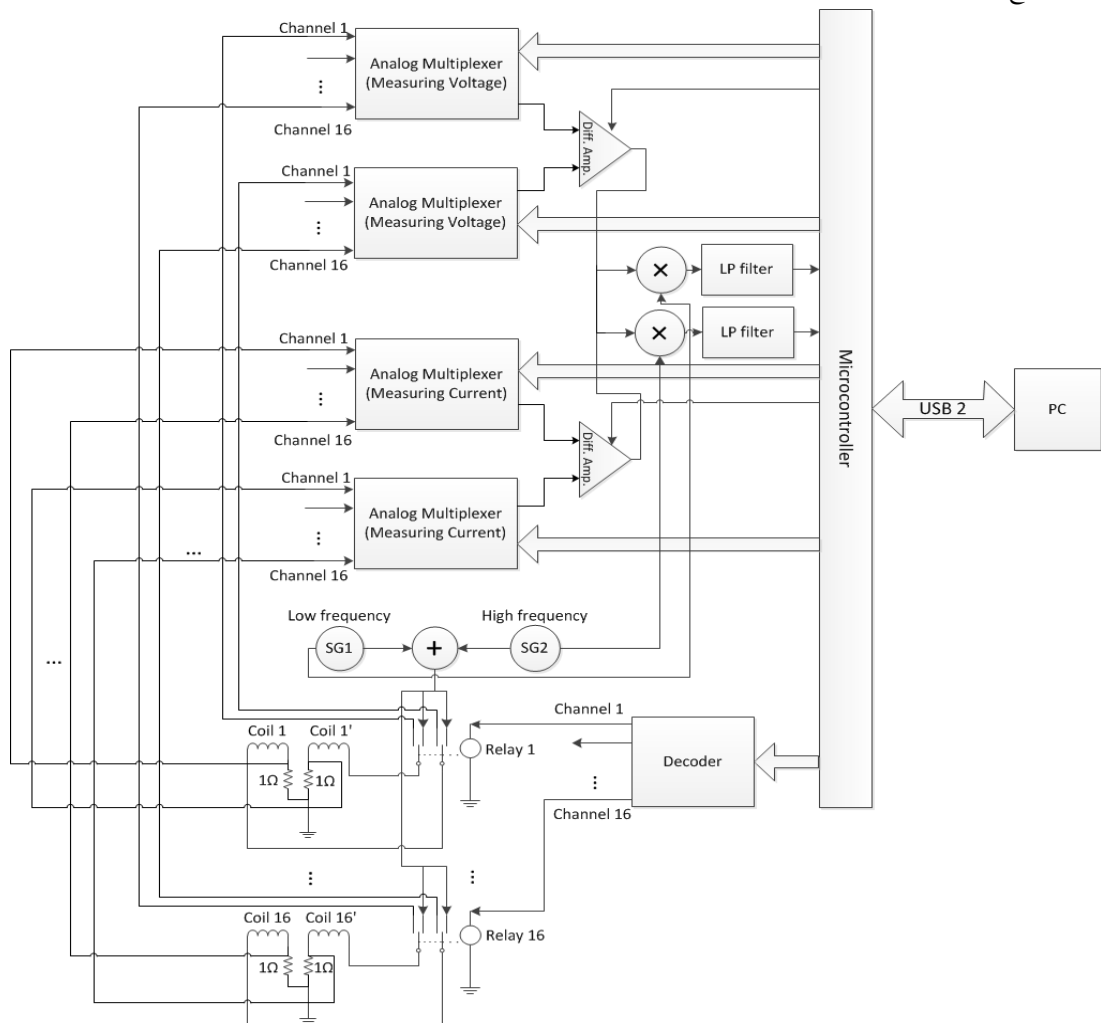
برای اندازه گیری تغییرات میدان حاصل از برقراری جریان های گردآبی درون اشیا در کاربردهای نظری سیستم های مقطع نگار القای مغناطیسی و دستگاه های فلزیاب، از دو روش به کار گیری سیم پیچ [۲۴ و ۲۵] و گردادیومتر [۲۶ و ۲۷] به عنوان سنسور اندازه گیری می توان استفاده کرد. در اکثر سیستم های دلیل این که استفاده از سیم پیچ به عنوان سنسور گیرنده، مزایایی طراحی، ساخت و کالibrاسیون راحت تر را به دنبال دارد، استفاده از سیم پیچ به عنوان سنسور گیرنده مرسوم تر است [۲۸]. از سوی دیگر با استفاده از سیم پیچ های تحریک به عنوان سیم پیچ گیرنده می توان در مصرف سیم صرفه جویی کرد [۲۹]. اما مشکل اصلی در کاربردهای بالینی سیستم های مقطع نگار القای مغناطیسی و دستگاه های فلزیاب، ناچیز بودن تغییرات میدان ناشی از القای جریان های گردابی درون شی هدف  $\Delta B$  نسبت به میدان تحریک ابتدایی B است (معمولًا نسبت قسمت موهومی  $B/B - \Delta B$  کوچک تر از ۱٪ است). این مشکل به دلیل کوچک بودن ضریب رسانایی شی در مقابل محیط اطراف اتفاق می افتد [۲۹]. برای رفع این مشکل، تعدادی از محققین استفاده از گردادیومترها را پیشنهاد کرده اند [۳۰ و ۳۱]. گردادیومترها تغییرات میدان را حس می کنند و اثر میدان اولیه را تا حد زیادی حذف می کنند. اما استفاده از گردادیومترها نیز سبب ایجاد مشکلاتی می شود که از جمله، آن ها می توان به وا استگی زیاد و لثاژ القایی به موقعیت گردادیومتر و وجود خطای ناشی از جا بجا بیان آن، وجود ظرفیت خازنی و وجود خطای فاز بیشتر را نام برد [۲۸].

بنابراین هدف اصلی در روش پیشنهادی استفاده از اتصال تفاضلی دو سیم پیچ که در یک راستا با فاصله کمی نسبت به یکدیگر قرار گرفته اند، برای اندازه گیری میدان ثانویه و حذف تاثیر میدان اولیه است. این کار باعث می شود که ولتاژ ثبت شده تحت تاثیر تغییرات میدان حاصل از جریان های گردآبی جاری در شی هدف قرار گیرد و به میدان تحریک ابتدایی B حساسیت کمتری داشته باشد. برای حل مشکل اندازه گیری میدان ابتدایی حساسیت کمتری داشته باشد. برای این کار باعث فاصله کمی نسبت به یکدیگر قرار گرفته اند استفاده کرد. این کار باعث می شود که ولتاژ ثبت شده تحت تاثیر تغییرات میدان حاصل از جریان های گردآبی جاری در شی هدف  $\Delta B$  گیرد و به میدان تحریک ابتدایی B حساسیت کمتری داشته باشد. در عین حال مزایای استفاده از سیم پیچ ها در

<sup>۱</sup> Plexiglass sheet in clear

مستقیم ولتاژ القابی با تعداد دور، سیگنال اندازه گیری شده در حالت گیرنده نیز ضعیف خواهد بود. در سوی دیگر اگر تعداد دور خیلی زیاد باشد ممکن است باعث قرار گیری فرکانس تشید در محدوده فرکانس کاری سیستم شود [۲۲].

از تکه های MDF مخصوص سیم پیچ با ضخامت ۴/۰ میلیمتر استفاده شده است. به این ترتیب تمام فضای شیارها پر خواهد شد. جریان مجاز سیم لاکی مورد استفاده  $1/4$  آمپر می باشد. انتخاب  $64$  دور سیم پیچ یک حد وسط بوده است. چرا که در صورتیکه تعداد دور خیلی کم باشد، در حالت تحریک، اندوکتانس و به تبع آن امپدانس کافی نخواهد داشت و جریان خیلی شدیدی از منبع ولتاژ دریافت می کند. علاوه بر این به دلیل رابطه



شکل ۲: بلوك دياگرام سامانه آزمایشگاهی دو فرکانسی ساخته شده.

در مرحله بعد از یک شیلد الکترومغناطیسی (صفحه فلزی) اطراف محفظه سیم پیچ ها جهت جلوگیری از تاثیر پذیری اندازه گیری ها از میدان های مغناطیسی و الکتریکی خارجی استفاده شده است. این صفحه فلزی محاط کننده سیم پیچ ها به زمین وصل می شود و با این تکنیک خارج از این شیلد الکترومغناطیسی میدان صفر بوده و شرط دیریشله صفر روی مرزاعمال می شود [۵].

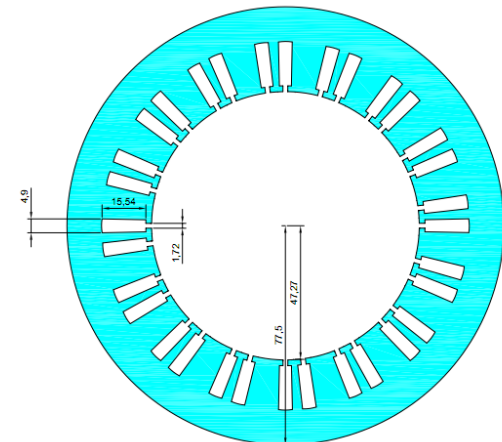
برای اندازه گیری میدان ثانویه، از روش پیشنهادی اتصال تفاضلی سیم پیچ های گیرنده که در یک راستا با فاصله کمی نسبت به یکدیگر قرار گرفته اند استفاده شده است. این کار باعث می شود که ولتاژ ثبت شده تحت تاثیر تغییرات میدان حاصل از جریان های گردآبی جاری در شی هدف  $\Delta B$  گیرد و به میدان تحریک ابتدایی  $B$  حساسیت کمتری داشته باشد. در

در نمونه آزمایشگاهی ساخته شده، سیم پیچ زیر و رو هر کدام با  $64$  دور سیم پیچی در دو شیار مجاور قرار گرفته اند (شکل ۴). بدین ترتیب با جای زنی کامل سیم پیچ ها، تعداد  $16$  سیم پیچ دوبل جای گیری شده اند که برای هر دو کاربرد تحریک و گیرنده مورد استفاده قرار خواهند گرفت. شکل ۵ نیز نحوه قرار گیری کل سیم پیچ ها بر روی اسکلت پلاستیکی را نشان می دهد. با استفاده از LCR متر اندوکتانس و مقاومت سری هر سیم پیچ در فرکانس  $100$  کیلو هرتز اندازه گیری شده است. سیم پیچ رو و زیر به ترتیب هر کدام دارای مقدار میانگین اندوکتانس خودی  $492/97$  و  $529/10$  میکروهانتری و مقاومت AC برابر با  $14/34$  و  $15/02$  اهم بوده اند. مقاومت DC میانگین سیم پیچ های نیز برابر با  $15/86$  اهم اندازه گیری شده است.

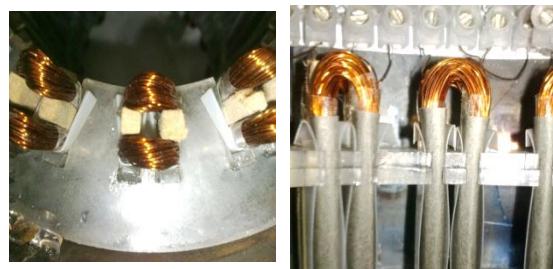
جاری در درون بافت و کاهش سطح ولتاژهای القایی در سیم پیچه های گیرنده می شود. این موضوع نیازمند افزایش دقت اندازه گیری دامنه و فاز ولتاژ القایی در سخت افزار سیستم است. تا کنون در سیستم های مقطع نگاری القای مغناطیسی ساخته شده، از رنج فرکانسی ۵ کیلو تا ۲۰ مگا هرتز استفاده شده است. در انتخاب فرکانس تحریک بایستی فرکانس تشدید سیستم نیز مدنظر قرار گیرد و فرکانس تحریک کمتر یا بیشتر از مقدار فرکانس تشدید انتخاب شود. در سیستم پیاده سازی شده فرکانس تحریک ۱۰ کیلو هرتز انتخاب شده است.

برای اعمال جریان به سیم پیچه های تحریک نیاز به یک مدار دی مالتی پلکس و برای اندازه گیری ولتاژ القایی و اندازه گیری جریان تحریک نیاز به دو مدار مالتی پلکس به صورت مجزا حساس می شود. مدار دی مالتی پلکس اول وظیفه سوئیچ کردن جریان بر روی سیم پیچ ۱/۴ تحریک مورد نظر را بر عهده دارد. به سیم پیچ تحریک جریانی معادل HFD205 آمپر بایستی اعمال شود که این کار توسط ۱۶ رله CD4515 آدرس دهی این رله ها از طریق ۴ بیت آدرس را بر عهده دارد. مدار بعدی نقش یک مالتی پلکس برای اندازه گیری ولتاژ دیفرانسیل القایی در سیم پیچ های گیرنده را بازی می کند. این مدار از ۲ مالتی پلکس آنالوگ  $16 \times 1$  تشکیل شده که توسط ۲ مدار مجتمع ADG506 قابل پیاده سازی است. ADG506 با اخذ یک آدرس ۴ بیتی از مدار کنترل کننده، یکی از ۱۶ پایه ورودی را انتخاب کرده و در خروجی قرار می دهد. برای اندازه گیری جریان تحریک نیز از یک مدار مالتی پلکس مشابه استفاده می شود. در نمونه پیاده سازی شده از روش دیفرانسیل برای اندازه گیری ولتاژ القایی در دو سیم پیچ گیرنده استفاده شده است. ولتاژهای تفاضلی اندازه گیری شده از سیم پیچ های بسیار کوچک می باشند و باید با استفاده از یک تقویت کننده عملیاتی تقویت شوند. سیگنال ورودی به تقویت کننده علاوه بر سیگنال مطلوب شامل سه جزء دیگر سیگنال نامطلوب، سیگنال تداخلی ناشی از برق شهر و نویز است. در سامانه نمونه آزمایشگاهی ساخته شده از یک میکرو کنترلر Atmega36A که از خانواده میکرو کنترلرهای AVR است، برای دستوردهی به مدارهای مالتی پلکس و دی مالتی پلکس، فعال سازی تقویت کننده های عملیاتی اندازه گیر ولتاژ القایی و جریان تحریک و تبدیل داده های اندازه گیری به داده های دیجیتال و ارسال آنها به کامپیوتر از طریق در گاه USB استفاده شده است. سامانه نمونه ساخته شده از چهار قسمت، محفظه سیم پیچ ها، کابل های رابط، برد تامین سیگنال و میکرو کنترلر، و برد اندازه گیری تشکیل شده است. محفظه سیم پیچ ها در شکل ۶ از سه جهت نمایش داده شده است. نتایج حاصل از به کار گیری این روش در سیستم نمونه مقطع نگار القای مغناطیسی ساخته شده، نشانگر افزایش زیاد حساسیت اندازه گیری ها نسبت به تغییرات میدان ثانویه ناشی از ایجاد جریان های گردآبی در جسم مورد نظر است. تصویر کل سامانه نمونه آزمایشگاهی به همراه تمامی چهار قسمت آن در شکل ۷ نمایش داده شده است.

عن حال مزایای استفاده از سیم پیچ ها در مقابل گرادریومترها نیز حفظ می شود.



شکل ۳: طرح ترسیم شده در نرم افزار Autocad که برای ساخت پایه های پلاستیکی سیم پیچ های طراحی شده است.



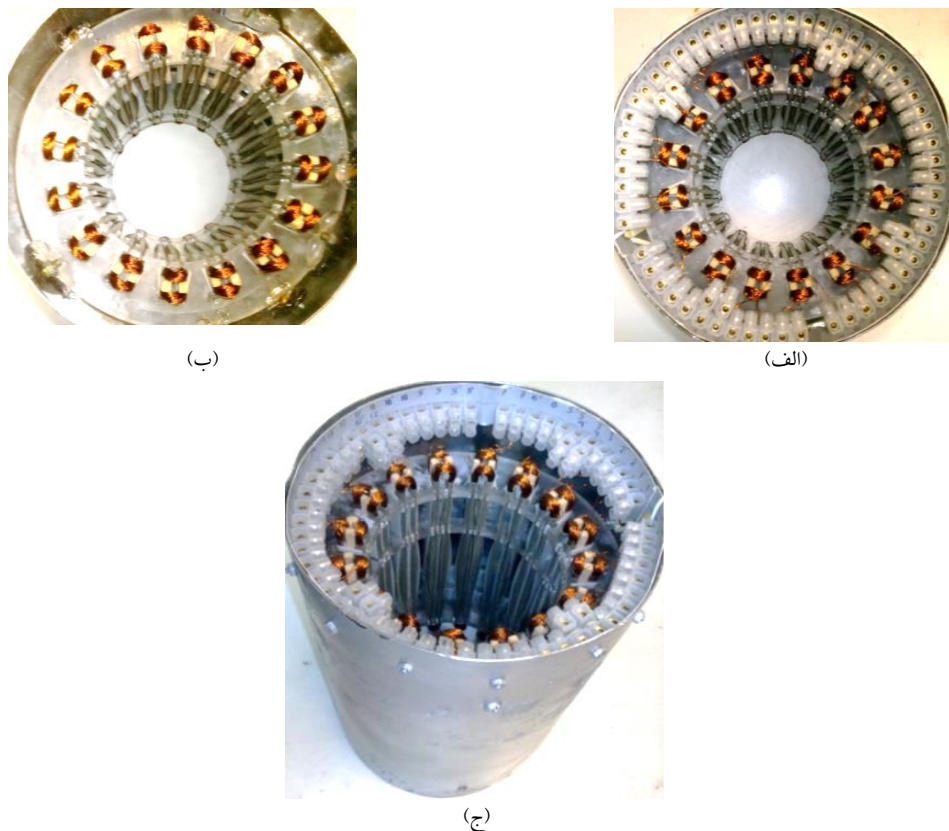
(الف) (ب)

شکل ۴: نحوه قرار گیری سیم پیچ های تحریک و گیرنده (الف)، نمای عرضی، (ب) نمای فوقانی.

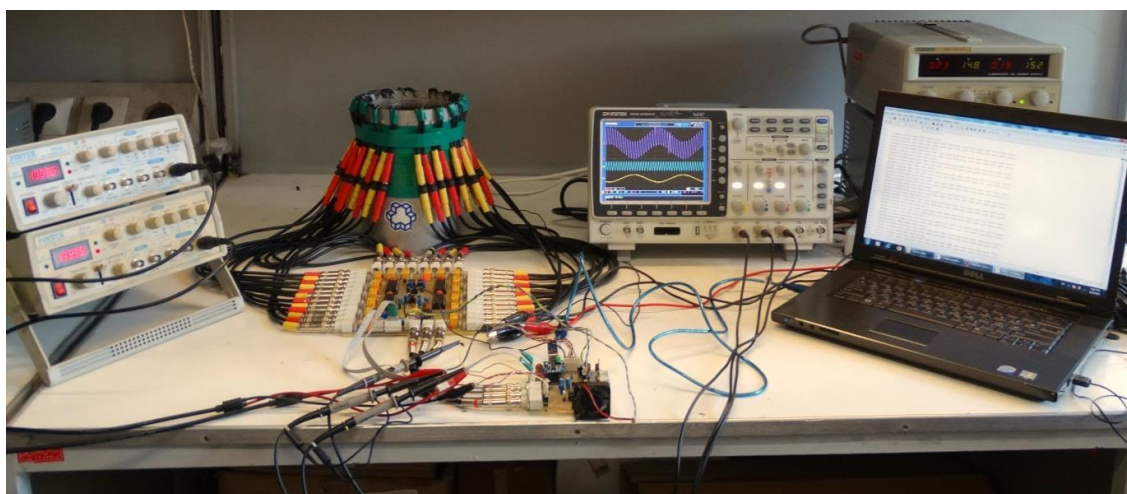


شکل ۵: محل قرار گیری سیم پیچ های تحریک و گیرنده.

انتخاب فرکانس تحریک یک تعامل بین عمق نفوذ در بافت و ساخت افزار سیستم است. افزایش فرکانس تحریک سیافراش عمیق نفوذ در بافت و به تبع آن افزایش حساسیت اندازه گیری هادر نواحی مرکزی بافت و افزایش دقت تفکیک پذیری مکانی می شود. در نقطه مقابل ساخت افزار سیستم محدود کننده فرکانس است. چرا که با افزایش فرکانس، امپدانس بافت افزایش یافته و باعث کاهش جریان های گردابی



شکل ۶: (الف) نمای فوقانی، (ب) نمای تحتانی و (ج) نمای عرضی محفظه سیم پیچی در نمونه آزمایشگاهی ساخته شده.



شکل ۷ تصویر سامانه نمونه آزمایشگاهی به همراه تمامی اجزاء.

که  $p$  ماتریس ستونی پارامترهای مجهول،  $e$  ماتریس ستونی خطاهای و  $Q$  ماتریس مربعی شامل ضربیهای وزنی است. تابع خطا  $e$  به شکل زیر

تعریف می شود:

$$e(p) = V^m - f(p) \quad (22)$$

در این رابطه  $V^m$  ماتریس ستونی ولتاژهای اندازه گیری شده از سیم پیچ ها است که در شبیه سازی مسئله معکوس می توان این اندازه گیری ها را از حل

## ۶- بازسازی تصویر

### ۶-۱ انتخاب تابع هزینه

تابع هزینه برای حل مسئله معکوس مقطع نگاری مغناطیسی، تابع هزینه مجموع مربعات خطای وزن دار شده<sup>۱</sup> یا به اختصار LS انتخاب می شود. این تابع هزینه در حالت کلی به شکل زیر تعریف می شود [۳۳]:

$$J(p) = e^T(p) Q e(p) \quad (21)$$

<sup>۱</sup> Least Square (LS) weighted

که در این رابطه  $V^m$  و لذا های اندازه‌گیری شده از سیستم واقعی و  $f(p)$  خروجی مسأله پیش رو با فرض ماتریس ستونی پارامتر  $P$  است. بروزرسانی پارامترهای مجھول در این روش توسط رابطه زیر انجام می‌شود:

$$\mathbf{p}_{exl}^{k+1} = \mathbf{p}_{exl}^k + \Delta \mathbf{p}_{exl}^k = \mathbf{p}_{exl}^k - \left[ \left( f'(p^k) \right)^T f'(p^k) \right]_{exl}^{-1} \quad (26)$$

$$\left( f'(p^k) \right)_{exl}^T \left( V^m - f(p^k) \right)_{mxl}$$

که در این رابطه  $e$  تعداد پارامترهای مجھول و  $m$  تعداد اندازه‌گیری های است. ترم  $f'(p^k)$  نیز بیانگر تغییرات اندازه‌گیری و لذا از سیم پیچ ها نسبت به تغییرات پارامترها (رسانایی هر المان) در هر بار تصحیح پارامترها است که به ماتریس حساسیت  $S^k$  معروف بوده و به شکل زیر تعریف می‌شود:

$$S_{mxe}^k = f'(p^k) \quad (27)$$

در واقع ماتریس حساسیت بیان می‌دارد که یک اندازه‌گیری مشخص بیشتر تحت تاثیر تغییرات رسانایی کدامیک از المان ها فرار دارد. با استفاده از این تعریف رابطه (۲۶) به شکل زیر بازنویسی می‌شود:

$$\mathbf{p}_{exl}^{k+1} = \mathbf{p}_{exl}^k + \Delta \mathbf{p}_{exl}^k$$

$$\Delta \mathbf{p}_{exl}^k = - \left[ (S^k)^T S^k \right]^{-1} (S^k)^T (V^m - f(p^k))_{mxl} \quad (28)$$

$$S_{mxe}^k = \frac{\partial f(p)}{\partial p} \Big|_{p^k}$$

از آنجا که در مقطع نگاری القای مغناطیسی مقادیر و لذا های القایی در سیم پیچ ها که همان مقادیر اندازه‌گیری شده هستند، و به تبع آن مقادیر در ایهای ماتریس حساسیت بسیار کوچک هستند، معکوس آن در رابطه (۲۸) عددی بسیار بزرگ بوده و عموماً پارامترهای مجھول همگرا نخواهد شد. برای حل این مشکل از اضافه کردن یک ضریب رگرسیون کمک گرفته می‌شود. با اضافه کردن این ضریب رگرسیون آ به رابطه (۲۸)، رابطه بروزرسانی پارامترهای مجھول به شکل زیر بازنویسی می‌شود که به روش گوس-نیوتون بهبود یافته معروف است [۳۶]:

$$\Delta \mathbf{p}_{exl}^k = - \left[ (S^k)^T S^k + \lambda R^T R \right]^{-1} (S^k)^T (V^m - f(p^k))_{mxl} \quad (29)$$

در این رابطه ساده‌ترین حالت، انتخاب  $R^T R = I$  ماتریس یک است.

### ۳-۶ تصاویر بازسازی شده

در اولین تست سیستم، یک میله فلزی در محیط تصویربرداری قرار گرفته و دامنه و لذا های القایی اندازه‌گیری شده در سیم پیچ های گیرنده برای بازسازی تصویر مورد استفاده قرار می‌گیرند. در این حالت محدودیت تعداد بیشینه تکرارها (۲۰ تکرار) باعث توقف الگوریتم تکرار می‌شود. شکل ۸ تغییرات تابع هزینه در طی این ۲۰ مرحله تکرار را نشان

مسئله پیش رو با مش ریز شده به دست آورد. تابع وزنی  $Q$  نیز در حالت کلی به صورت ماتریس مربعی به شکل زیر تعریف می‌شود:

$$Q = [w_{ij}] \quad (23)$$

$Q = \frac{1}{2} I$  ساده‌ترین انتخاب است که  $I$  ماتریس یک است. در حالی که داده های اندازه‌گیری شده و به تبع آن خطای خیلی کوچک باشد می‌توان از نرمالیزه کردن داده ها نسبت به یک مبنای خاص به شکل زیر بهره برد:

$$w_{ij} = \frac{1}{[V_j^b]^2} \quad (24)$$

این رابطه به ازای  $j = i$  برقرار بوده که  $V_j^b$  مقدار لذا از مبنای برای اندازه‌گیری  $i$  است. برای  $j \neq i$ ،  $w_{ij} = 0$  است.

## ۲-۶ روش بهینه سازی

پس از انتخاب تابع هزینه، نوبت به بهینه سازی آن به منظور استخراج مقادیر پارامترهای مجھول می‌رسد. اینکار به روش های مختلفی از جمله روش مشتق مستقیم [۳۴] و روش های غیرخطی تکراری شامل روش گرادیان<sup>۱</sup> [۳۵ و ۳۶]، روش نیوتون-رافسون (نیوتون) [۳۳ و ۳۷] و روش گوس-نیوتون (نیوتون-رافسون بهینه شده) [۳۷ و ۳۳] قابل انجام است. در روش مشتق مستقیم، مشتق تابع هزینه نسبت به تک پارامترهای مجھول محاسبه شده و با قراردادن مقدار این مشتق های محاسبه شده برابر مقدار صفر (پیدا کردن نقطه کمینه) مقادیر پارامترهای مجھول قابل محاسبه خواهد بود. اما در مسائل پیچیده محاسبه این مشتق های به راحتی امکان پذیر نخواهد بود. روش گرادیان بر مبنای استفاده از بسط پارامترهای مجھول جدید بر حسب پارامترهای قدیمی و بیان تغییرات پارامترها به کمک بسط تیلور با استفاده از تعريف ماتریس گرادیان<sup>۲</sup> عمل می‌کند. روش بهینه سازی نیوتون-رافسون (نیوتون) نیز بهبود یافته روش گرادیان بوده که در آن جمله مرتبه دوم نیز در بسط تیلور تاثیر داده شده و مشتق های مرتبه دوم در قالب ماتریس هسین علاوه بر ماتریس گرادیان در بهینه سازی دخالت می‌یابند. در روش گوس-نیوتون که روش بهبود یافته نیوتون-رافسون است، با استفاده از جایگذاری تابع هزینه مجموع مربعات خطای معرفی شده در بخش ۱-۶، از یک رابطه تقریبی برای محاسبه ماتریس هسین استفاده شده و در نهایت یک رابطه بهینه سازی آمده ارائه می‌شود. این روش به روش نیوتون-رافسون بهینه شده<sup>۳</sup> نیز معروف است. در روش گوس-نیوتون (نیوتون-رافسون بهینه شده) با فرض ماتریس وزنی  $\frac{1}{2} I = Q$  و استفاده از تابع هزینه مجموع مربعات خطای تعریف شده در رابطه (۲۱)؛ تابع هزینه به شکل زیر تعریف می‌شود:

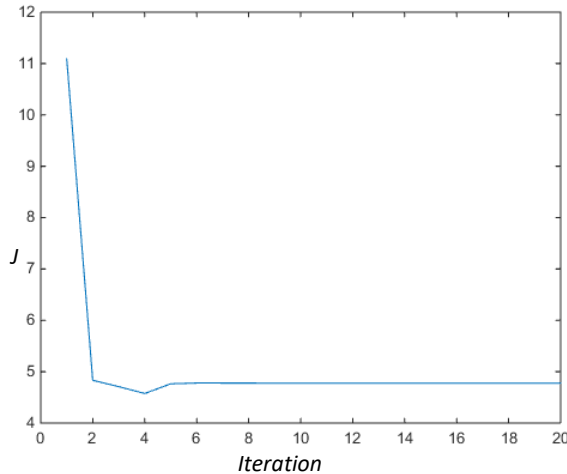
$$J(p) = \frac{1}{2} e^T(p) e(p) = \frac{1}{2} (V^m - f(p))^T (V^m - f(p)) \quad (25)$$

<sup>۳</sup> Modified Newton Raphson method

<sup>۱</sup> Gradient method

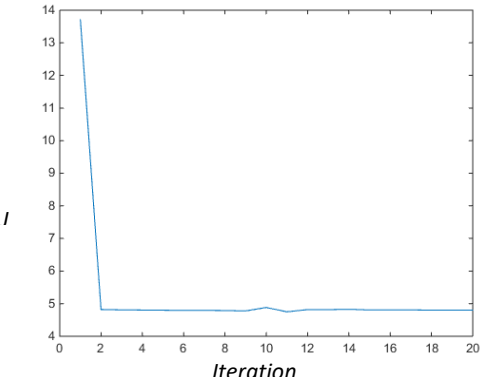
<sup>۲</sup> Gradient

در تست دوم، داده های اندازه گیری شده از سیستم برای حالت وجود دو میله فلزی در محیط تصویربرداری برای بازسازی تصویر مورد استفاده قرار می گیرد. در این حالت نیز محدودیت تعداد بیشینه تکرارها (۲۰ تکرار) باعث توقف الگوریتم تکرار می شود. شکل ۱۰ تغییرات تابع هزینه در طی این ۲۰ مرحله تکرار را نشان می دهد. تصویر بازسازی شده نیز در شکل ۱۱ نمایش داده شده است. در این تصویر نیز دایره های نشان داده شده، موقعیت واقعی میله ها را نشان می دهنند. در این حالت همانطور که در شکل ۱۱ مشاهده می شود، خطای بین مقادیر واقعی و شبیه سازی، گام تغییرات ضریب رسانایی را بسیار بزرگ کرده است و این موضوع باعث کاهش کیفیت تصویر بازسازی شده و ایجاد مناطق غیر واقعی در تصویر بازسازی شده گردیده است. میانگین خطای نسبی مابین مقادیر رسانایی بدست آمده از حل مسئله معکوس و مقادیر واقعی نسبت به مقدار بیشینه رسانایی در ناحیه هدف در این حالت  $8/8032\%$  است. در سیستم مقطع نگاری القایی مغناطیسی عملی ساخته شده، دقت تفکیک پذیری زمانی که بصورت زمان لازم برای انجام عمل نمونه برداری ولتاژها و بازسازی تصویر تعریف شده برابر با  $510$  ثانیه به دست آمده است (در این محاسبه زمان انتقال داده در نظر گرفته نشده است).

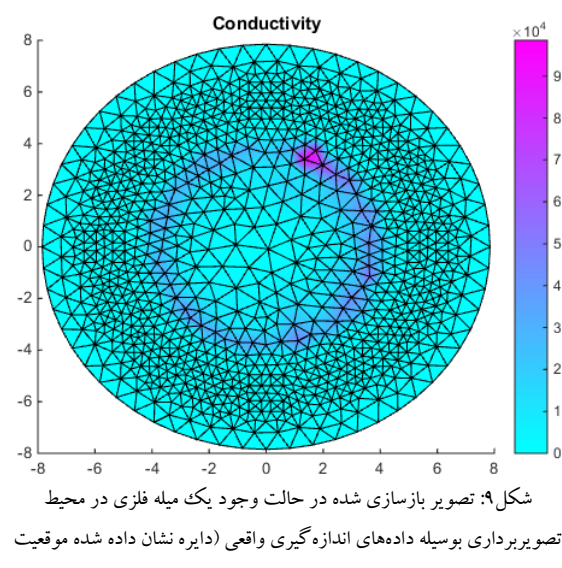
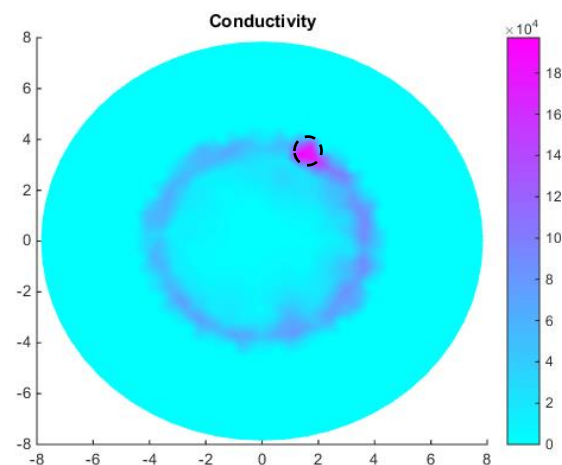


شکل ۱۰: تغییرات تابع هزینه در مراحل مختلف تکرار در حالت وجود دو میله فلزی در محیط تصویربرداری بوسیله داده های اندازه گیری واقعی.

می دهد. تصویر بازسازی شده نیز در شکل ۹ نمایش داده شده است. دایره نشان داده شده در این شکل موقعیت واقعی میله را نشان می دهد. میانگین خطای نسبی مابین مقادیر رسانایی بدست آمده از حل مسئله معکوس و مقادیر واقعی نسبت به مقدار بیشینه رسانایی در ناحیه هدف در این حالت  $50/350$  است.



شکل ۹: تغییرات تابع هزینه در مراحل مختلف تکرار در حالت وجود دو میله فلزی در محیط تصویربرداری بوسیله داده های اندازه گیری واقعی.

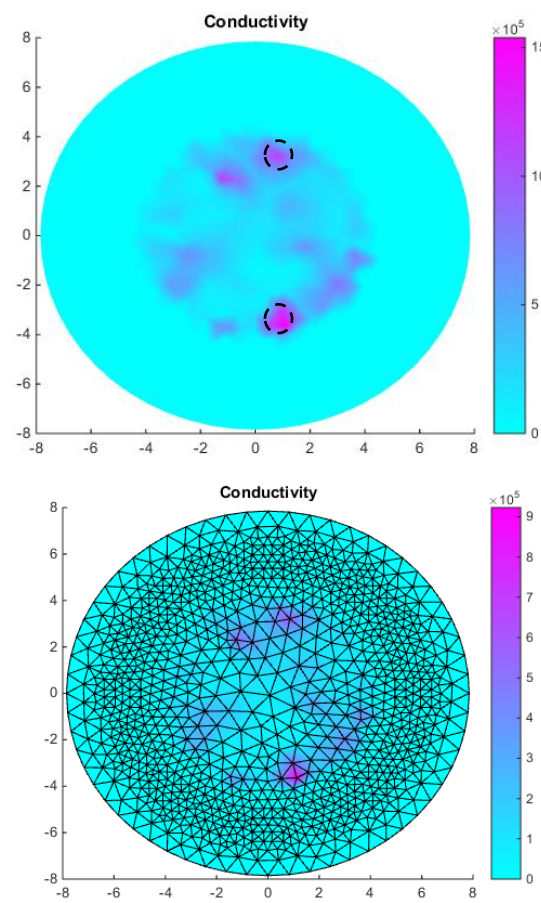


شکل ۱۱: تصویر بازسازی شده در حالت وجود دو میله فلزی در محیط تصویربرداری بوسیله داده های اندازه گیری واقعی (دایره نشان داده شده موقعیت واقعی میله را نشان می دهد).

پیاده‌سازی و ساخت این سیستم پایه و مبنای برای تحقیقات آتی در زمینه  
مقطع نگاری القای مغناطیسی خواهد بود.

## مراجع

- [۱] محمد رضا یوسفی نجف‌آبادی، مائدۀ هادی‌نیا، رضا جعفری، حمید ابریشمی مقدم، حمید رضا تقی‌راد، "کاربردهای مقطع نگاری الکتریکی و نوری در صنعت نفت و گاز"، دومین همایش بازرگانی اینی در صنایع نفت و انرژی، تهران، بهمن ماه ۱۳۹۰.
- [۲] M. R. Yousefi, R. Jafari, and H. Abrishami-Moghaddam, "A combined wavelet-based mesh free method for solving the forward problem in electrical impedance tomography," *2012 IEEE Int. Symposium on Medical Meas. and Application*, Budapest, Hungary, pp. 251-254, 2012.
- [۳] M. R. Yousefi, R. Jafari, and H. Abrishami-Moghaddam, "A combined wavelet-based mesh free method for solving the forward problem in electrical impedance tomography," *IEEE Trans. Instrum. Meas.*, Vol. 62, pp. 2629-2638, 2013.
- [۴] محمد رضا یوسفی نجف‌آبادی، رضا جعفری، حمید ابریشمی مقدم، "به کارگیری روش ترکیبی بدون مش مبتنی بر موجک برای حل مساله پیشو ار مقطع نگاری القای مغناطیسی"، بیستمین کنفرانس مهندسی پزشکی ایران، دانشگاه تهران، ۶، صفحه، ۱۳۹۲.
- [۵] محمد رضا یوسفی نجف‌آبادی، رضا جعفری، حمید ابریشمی مقدم، "مدل‌سازی اجزای محدود - بدون مش مبتنی بر موجک در حل مساله پیشو ار مقطع نگاری القای مغناطیسی،" *فصلنامه علمی پژوهشی مهندسی پزشکی زیستی*، دوره هشتم، صفحه ۶۹-۸۶. ۱۳۹۳.
- [۶] W. Cong, D. Xiu-zhen, L. Rui-gang, F. Feng, S. Xue-tao and Y. Fu-sheng, "Preliminary simulations on magnetic induction tomography of the brain based on finite element method," *J. US-China Med. Sci.*, Vol. 4, pp. 11-17, 2007.
- [۷] H. Griffiths, "Magnetic induction tomography," *Meas. Sci. Technol.*, Vol. 12, pp. 1126-1131, 2001.
- [۸] A. J. Peyton, Z. Z. Yuy, G. Lyony, S. Al-Zeibaky, J. Ferreira, J. Velezz, F. Linharesz, A. R. Borges, H. L. Xiongx, N. H. Saundersk, and M. S. Becky., "An overview of electromagnetic inductance tomography: description of three different systems," *Meas. Sci. Technol. J.*, Vol. 7, pp. 261-271, 1996.
- [۹] X. Ma, A. J. Peyton, S. R. Higson, A. Lyons, and S. J. Dickinson, "Hardware and software design for an electromagnetic induction tomography (EMT) system for high contrast metal process applications," *Meas. Sci. Technol.*, Vol. 17, pp. 111-118, 2006.
- [۱۰] R. Merwa, K. Hollaus, and H. Scharfetter, "Detection of brain oedema using magnetic induction tomography: a feasibility study of the likely sensitivity and detectability," *Physiol. Meas.*, Vol. 25, pp. 1-8, 2004.
- [۱۱] H. Scharfetter, A. Kostinger, and S. Issa, "Hardware for quasi-single-shot multifrequency magnetic induction tomography (MIT): the Graz MK2 system," *Physiol. Meas.*, Vol. 29, pp. 431-443, 2008.
- [۱۲] H. Scharfetter, A. Kostinger, and S. Issa, "Spectroscopic 16 channel magnetic induction tomograph: the new Graz MIT system," *IFMBE Proc.*, Vol. 17, pp. 452-455, 2007.
- [۱۳] S. Watson, R. J. Williams, H. Griffiths, W. Gough, and A. Morris, "Magnetic induction tomography:



شکل ۱۱: تصویر بازسازی شده در حالت وجود دو میله فلزی در محیط تصویربرداری بوسیله داده‌های اندازه‌گیری واقعی.

## ۷- نتیجه‌گیری

در این تحقیق روش دمدولاسیون مبتنی بر ضرب کنتنه آنالوگ دو فرکانسی جهت بهبود اندازه‌گیری قسمت حقیقی و موهومی ولتاژهای القایی در ساخت یک سامانه نمونه آزمایشگاهی مقطع نگاری القای مغناطیسی به کار گرفته شد. استفاده از دمدولاپتور مبتنی بر ضرب کنتنه آنالوگ دو فرکانسی با استفاده از یک فرکانس پایین برای اندازه‌گیری قسمت حقیقی امپانس مجھول و یک فرکانس بالا برای اندازه‌گیری قسمت موهومی آن به صورت همزمان در کاوش خطای اندازه‌گیری قسمت حقیقی و موهومی امپانس مجھول موثر خواهد بود. همچنین برای حل تاثیر میدان اولیه در سیستم‌های مقطع نگاری القای مغناطیسی از اتصال تضاضی سیم‌پیچ‌های گیرنده در ساخت تاثیر تغییرات میدان حاصل این کار باعث می‌شود که ولتاژ ثبت شده تحت تاثیر تغییرات میدان حاصل از جریان‌های گردآبی جاری در شی هدف قرار گیرد و به میدان تحریک ابتدایی حساسیت خیلی کمی داشته باشد. در این تحقیق داده‌های اندازه‌گیری واقعی در سه حالت وجود هوای آزاد، وجود هوای آزاد و یک میله فلزی وجود هوای آزاد و دو میله فلزی با استفاده از ساخت افزار ساخته شده گزارش شد و نتایج واقعی بازسازی تصویر انجام گرفت.

- induction tomography," *Sensors*, Vol 12, pp. 7126-7156, 2012.
- [29] H. Y. Wei, and A. J. Wilkinson, "Design of sensor coil and measurement electronics for magnetic induction tomography," *IEEE Trans. Instrum. Meas.*, Vol. 60, pp. 3853-3859, 2011.
- [30] R. Cantor, A. Hall, A. Matlachov, "Thin-film planar gradiometer with long baseline," *J. Phys.: Conf. Ser.*, Vol. 43, pp. 1223-1226, 2006.
- [31] C. H. Riedel, M. Keppelen, S. Nani, R. D. Merges, O. Dössel, "Planar system for magnetic induction conductivity measurement using a sensor matrix," *Physiol. Meas.*, Vol. 25, pp. 403-411, 2004.
- [۳۲] محمد رضا یوسفی نجف آبادی، عبدالله محمدی ابهری، رضا جعفری، "بهبود اندازه گیری در سیستم های مقطع نگاری اپدانس الکتریکی با استفاده از دمدولاسیون حساس به فاز مبتنی بر ضرب کننده آالوگ،" دومین کنفرانس بیوالکترو مغناطیسی ایران، دانشگاه تهران، ۶ صفحه، ۱۳۹۲.
- [33] T. J. Yorkey, J. G. Webster, and W. J. Tompkins, "Comparing reconstruction algorithms for electrical impedance tomography," *IEEE Trans. Biomed. Eng.*, Vol. 34, pp. 853-852, 1987.
- [34] A. G. Ramm, *Inverse Problems-Mathematical and Analytical Techniques with Applications to Engineering*, Springer, 2005.
- [35] M. C. K. Khoo, *Physiological Control Systems: Analysis, Simulation and Estimation*, Willey-Black Well, 1999.
- [36] M. Soleimani, "Image and shape reconstruction methods in magnetic induction and electrical impedance tomography," PhD thesis, Faculty of Engineering and Physical Sciences, University of Manchester, 2005.
- [37] C. T. Kelley, *Iterative Methods for Optimization*, Siam, 1999.
- phase versus vector voltmeter measurement techniques," *Physiol. Meas.*, Vol. 24, pp. 555-564, 2003.
- [14] C. H. Igney, S. Watson, R. J. Williams, H. Griffiths, and O. Dossel, "Design and performance of a planar-array MIT system with normal sensor alignment," *Physiol. Meas.*, Vol. 26, pp. 263-278, 2005.
- [15] G. S. Park and S. Kang, "A study on the determination of the object shape in magnetic inductance tomography system," *12th IEEE Conf. Electromagnetic Field Computation*, pp. 77-77, 2006.
- [16] G. S. Park, "Development of a magnetic inductance tomography system," *IEEE Trans. Magn.*, Vol. 41, pp. 1932-1935, 2005.
- [17] M. Soleimani, C. Ktistis, X. Ma, W. Yin, W. R. B. Lionheart, and A. J. Peyton, "Magnetic induction tomography: image reconstruction on experimental data from various applications," *6th Conf. Biomed. Appl. Electrical Impedance Tomography*, UK, 34955 (4pp.), 2005.
- [18] Z. Xu, H. Luo, W. He, C. He, X. Song, and Z. Zahng, "A multi-channel magnetic induction tomography measurement system for human brain model imaging," *Physiol. Meas.*, Vol. 30, pp. 175-186, 2009.
- [19] J. Caeiros, B. Gil, N. B. Brás and R. C. Martins, "A differential high-resolution motorized multi-projection approach for an experimental Magnetic Induction Tomography prototype," in: *2012 IEEE Int. Symp. Med. Meas. Appl. Proc.* Budapest, Hungary.
- [20] A. Trakic, N. Eskandarnia, B. K. Li, E. Weber, H. Wang and S. Crozier, "Rotational magnetic induction tomography," *Meas. Sci. Technol.* Vol. 23, 025402 (12pp), 2012.
- [21] Ma, Lu, Andy Hunt, and Manuchehr Soleimani, "Experimental evaluation of conductive flow imaging using magnetic induction tomography," *Inter. J. Multiphase Flow*, Vol. 72, pp. 198-209, 2015.
- [۲۲] محمد رضا یوسفی نجف آبادی، "مدل سازی اجزای محدود - بدون مش در مقطع نگار القایی مغناطیسی و ساخت یک سامانه نمونه آزمایشگاهی،" رساله دکتری تخصصی، دانشگاه صنعتی خواجه نصیرالدین طوسی، دانشکده برق، ۱۳۹۳.
- [23] D. Chen, W. Yang, and M. Pan, "Design of impedance measuring circuits based on phase-sensitive demodulation technique," *IEEE Trans. Instrum. Meas.*, Vol. 60, pp. 1276-1282, 2011.
- [24] A. Korjenevsky, V. Cherepenin, and S. Sapetsky, "Magnetic induction tomography: Experimental realization," *Physiol. Meas.*, Vol. 21, pp. 89-94, 2000.
- [25] X. Ma, S. R. Higson, A. Lyons, and A. J. Peyton, "Development of a fast electromagnetic induction tomography system for metal process applications," *Proc. 4th WC IPT*, Aizu, Japan, pp. 196-201, 2005.
- [26] H. Scharfetter, H. K. Lackner, and J. Rosell, "Magnetic induction tomography: Hardware for multi-frequency in biological tissue," *Physiol. Meas.*, Vol. 22, pp. 131-146, 2001.
- [27] H. Scharfetter, R. Merwa, and K. Pilz, "A new type of gradiometer for the receiving circuit of magnetic induction tomography," *Physiol. Meas.*, Vol. 26, pp. S307-S318, 2005.
- [28] Z. Zakaria, R. A Rahim, M. S. B. Mansor, S. Yaacob, N. M. N. Ayob, S. Z. M. Muji, M. H. F. Rahiman, and S. M. K. S. Aman, "Advancements in transmitters and sensors for biological tissue imaging in magnetic